

論 文

주파수 영역에서 블럭적응 필터의 고속 수렴 알고리즘에 관한 연구

正會員 姜 哲 豪* 準會員 趙 海 南**

A Study on Fast Convergence Algorithm of Block Adaptive Filter in Frequency Domain

Chul Ho Kang * and Hai Nam Jo **, Regular Members

요 약 주파수 영역에서 블럭 적응 필터(Block Adaptive Filter)의 새로운 구현 방법을 제시하였다. 블럭 적응 필터링은 입력값을 Block 단위로 하였을때 출력에서도 블럭 단위 또는 유한한 값을 갖도록 하는 것이다. 본 논문에서는 Gordard 이론을 이용하여 Block Adaptive Filter의 고속 수렴 알고리즘을 소개하고 Saito의 알고리즘과 BLMS 알고리즘의 수렴 결과와 비교하였다. 그 결과 본 논문에서 제시한 주파수 영역블럭 적응 필터의 알고리즘(FBAF)이 BLMS 알고리즘의 수렴상태보다 빠르게 수렴하며 Saito의 알고리즘의 수렴 오차보다는 줄어든었다.

ABSTRACT A new implementation of Block Adaptive filter in frequency domain is presented in this paper. Block digital filtering involves the calculation of a block or finite set of filter out put from a block of input values. A fast convergence algorithm of block adaptive filter is developed using Gordard theory and compared with the performance results of Saito algorithm and BLMS algorithm. From the result we can be shown that the convergence state of given algorithm is not only faster than BLMS algorithm but also the resulting convergence error is less than the convergence error of Saito algorithm.

1. 서 론

적응 디지털 필터는 잡음및 echo제거, 신호의 enhancement, 선형예측, channel equalization과 같은 신호처리 분야에서 응용할 수 있다. 적응 필터의 가장 유사한 구조는 FIR(Finite Impulse Response) 필터로 구현 되는것이 일반적이다. 디지털 필터의 블럭 실행은 속도가 빠

른 병렬 processor를 사용할 수 있다. 또한 FFT(Fast Fouriler Transform)와 같은 블럭알고리즘은 직렬 processor로 필터를 구현할 때 유익하게 이용된다. 최근의 논문에서 FIR 블럭 LMS 적응 필터에 대한 이론과 구현 방법이 제시되었다^[4]. 블럭 디지털 필터링은 입력 값들을 블럭으로 하여 출력에서 블럭 또는 유한한 값을 갖도록 계산하는 것이다. 한번에 한 sample씩 처리하는것 보다는 block으로 데이터를 처리함으로써 FIR적응 필터는 주파수 영역에서 뿐만 아니라 시간 영역에서도 효율적으로 구현될 수 있다. 한편 필터의 weight는 결정된 performance function을 최소화하는 적응 알고리즘에 의

*, ** 光云大學電子通信工學科
Dept. of Electronic Telecommunication Engineering,
Kwangwoon University, Seoul. 132 Korea.
論文番號 : 85-37(接受 1985. 9. 24)

해 update된다. 일반적으로 performance function으로는 BMSE(Block Mean Square Error)가 이용된다⁽⁴⁾. Widrow와 Hoff가 1960년초에 최소 평균 자승(Least mean square) 알고리즘을 제시한 이래 적응 디지털 필터에 대한 연구가 활발하게 진행되고 있다. LMS 알고리즘은 steepest descent 방법을 응용한 것이며 적응 필터 weight adaptation을 제어하는 correction 계수 μ 는 안전성을 보장하기 위해 매우 작아야 한다⁽³⁾. 이와같은 조건때문에 LMS 알고리즘의 수렴 속도는 느리게 된다. 본 논문에서 제시한 알고리즘은 데이터를 블럭으로 처리함으로써 적응 필터를 구현하였으며 G. A. Clark 이론에 Gardard 이론을 전개한 것으로 Tsuneo Saito가 제시한 알고리즘을 블럭 단위로 확장한 알고리즘에 대응한다. G. A. Clark이 제시한 알고리즘의 weight는 시간 영역에서 처리 하였지만 본 논문에서는 weight를 주파수 영역에서 처리 하였으며 제시된 알고리즘은 실 시간 처리 (real time processing)에 적합한 방법으로 생각된다.

2. LMS 적응 필터

기존의 LMS 적응 필터는 차수가 $N-1$ 인 FI-

R 디지털 필터이다. (그림 1) discrete-time instant K 에서 출력 Y_K 는 입력 x_K 와 필터 weight

W_K 와의 중첩함으로 표시된다. 즉

$$Y_K = \sum_{l=0}^{N-1} w_{l,K} x_{K-l} \quad K = 0, 1, 2, \quad (1)$$

이 알고리즘은 다음 식에 의해 필터 weight를 조절한다.

$$W_{K+1} = W_K + 2 \mu \epsilon_K X_K \quad (2)$$

여기서 μ 는 수렴상수이고 W_K 와 X_K 는 각각 $N \times 1$ 인 weight vector와 $N \times 1$ 인 입력 vector이다.

$$W_K = [W_{0,K}, W_{1,K}, W_{2,K}, \dots, W_{(N-1),K}]^T \quad (3)$$

$$X_K = [x_K, x_{K-1}, \dots, x_{K-N+1}]^T \quad (4)$$

그리고 E_K 는 K 번째 순간에서 실제 출력 Y_K 와 바라는 응답 d_K 간에 차로 주어지는 오차이다.

$$E_K = d_K - Y_K \quad (5)$$

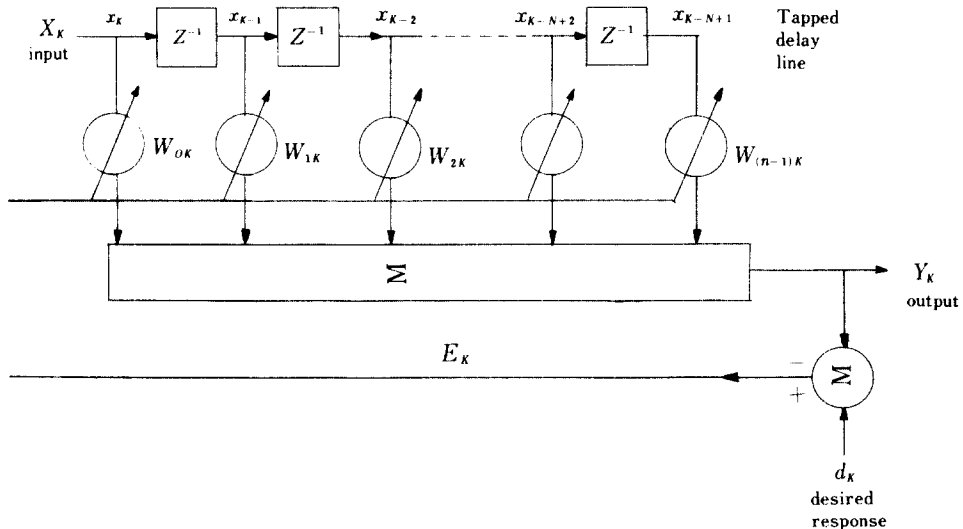


그림 1 LMS 적응 필터링
Conventional LMS Adaptive filtering.

3. BLOCK LMS 적응 필터

$J = 0, 1, 2, \dots$ 를 block number라하고 L 을 block length라 할때 블럭 적응 필터에 대한 두 개의 서로 다른 vector가 있다. 그 하나는 시간 K 에서 필터의 레지스터에 저장된 입력 $N \times 1$ 인 vector X_K 이고 또 하나는 $L \times 1$ vector로 표시되는 J 번째 입력 데이터 block X_{JL} 이다⁽⁴⁾.

$$X_K = [x_K \ x_{K-1} \ \dots \ x_{K-N+1}]^T \quad (6)$$

$$X_{JL} = [X_{JL} \ X_{JL+1} \ \dots \ X_{(J+1)L-1}]^T \quad (7)$$

마찬가지로 J 번째 출력 데이터 block Y_J 는 $L \times 1$ vector로 주어진다.

$$Y_J = [Y_{JL} \ Y_{JL+1} \ \dots \ Y_{(J+1)L-1}]^T \quad (8)$$

필터 weight는 블럭을 기초로 하여 조절되며 J 번째 block에 대한 weight W_J 는 $N \times 1$ vector로 표시된다.

$$W_J = [W_{0J} \ W_{1J} \ \dots \ W_{(N-1)J}]^T \quad (9)$$

여기서 첨자는 개개의 필터 weight를 나타낸다. 따라서 블럭 적응 필터 출력은 다음식으로 표시된다.

$$Y_J = \chi_J W_J \quad (\text{단 } J = 0, 1, 2, \dots) \quad (10)$$

이때 χ_J 는 $L \times N$ 인 Matrix이다.

$$\chi_J = \begin{pmatrix} x_{JL} & x_{JL-1} & \dots & x_{JL-N+1} \\ x_{JL+1} & x_{JL} & \dots & x_{JL-N+2} \\ \vdots & \vdots & \ddots & \vdots \\ x_{(J+1)L-1} & x_{(J+1)L-2} & \dots & x_{(J+1)L-N} \end{pmatrix}$$

$$= [X_{JL} : X_{JL-1} : \dots : X_{JL-N+1}] \quad (11)$$

partition by columns

$$= [X_{JL} : X_{JL+1} : \dots : X_{(J+1)L-1}]^T \quad (12)$$

partition by rows

식(9)와 식(12)를 식(10)에 대입하면 다음과 같이 표시된다.

$$Y_{JL+K} = X_{JL+K}^T W_J \quad (\text{단 } K = 0, 1, 2, \dots, \dots, L-1) \quad (13)$$

식(13)은 linear convolution처럼 J 번째 블럭 출력 데이터인 Y_J 의 element를 구성한다. 식(13)은 간단한 계산과정에 의해 다음과 같이 쓸 수 있다.

$$Y_{JL+K} = \sum_{i=0}^{N-1} x_{JL+K-i} W_{i,J} \quad K = 0, 1, \dots, \dots, L-1 \quad (14)$$

한편 필터 weight는 다음 식에 따라서 update된다.

$$W_{J+1} = W_J + 2\mu_B / L \cdot \Phi_J \quad (15)$$

여기서 Φ_J 는 다음 식으로 주어지며 element가 N 개인 gradient 추정 vector이다.

$$\Phi_J = [\phi_{0J} \ \phi_{1J} \ \dots \ \phi_{(N-1)J}]^T = \chi_J^T E_J \quad (16)$$

여기서 E_J 는 $L \times 1$ 오차 vector로써 다음 식으로 표시된다.

$$E_J = [\epsilon_{JL} \ \epsilon_{JL+1} \ \dots \ \epsilon_{(J+1)L-1}]^T \quad (17)$$

그리고 $E_J = D_J - Y_J$ 이며 D_J 는 J 번째 desired response이고 블럭형태로써는 다음과 같이 표시된다.

$$D_J = [d_{JL} \ d_{JL+1} \ \dots \ d_{(J+1)L-1}]^T \quad (18)$$

P

식(11)과 식(17)을 식(16)에 대입하면 J 번째 블럭 평균 자승 오차 gradient 추정 vector의 element인 표현식을 얻는다.

$$\phi_{i,J} = X_{JL-i}^T E_J \quad i = 0, 1, \dots, N-1 \quad (19)$$

식(19)은 J 번째 오차 블럭과 $(JL-i)$ 번째 입력 데이터 block 과의 correlation 을 나타낸다. 위의 식에서처럼 블럭 적응 알고리즘은 식(10)의 block convolution, 식(16)의 gradient estimation, 그리고 식(15)의 weight update 의 연속적인 연산으로 이루어 진다. 한편 입력을 블럭 단위로 처리할 경우 $L=N$ 인 경우가 가장 이상적이다⁽⁴⁾. 본 논문에서는 $L=N=4$, $L=N=2$ 로 하였다. 그리고 그림 2 는 블럭 적응 필터의 block-diagram 이다.

$$Y = W_J \chi_J \quad (20)$$

또한 L -point 출력 신호를 산출하기 위해 IFFT 가 수행된다. 이 weighted output 은 L -point complex error 신호를 형성하기 위해 대응하는 주파수에서 바라는 응답값과 비교된다.

$$E_J = D_J - Y_J \quad (21)$$

여기서 E_J 는 $L \times 1$ 인 vector 이다. 만약 입력신

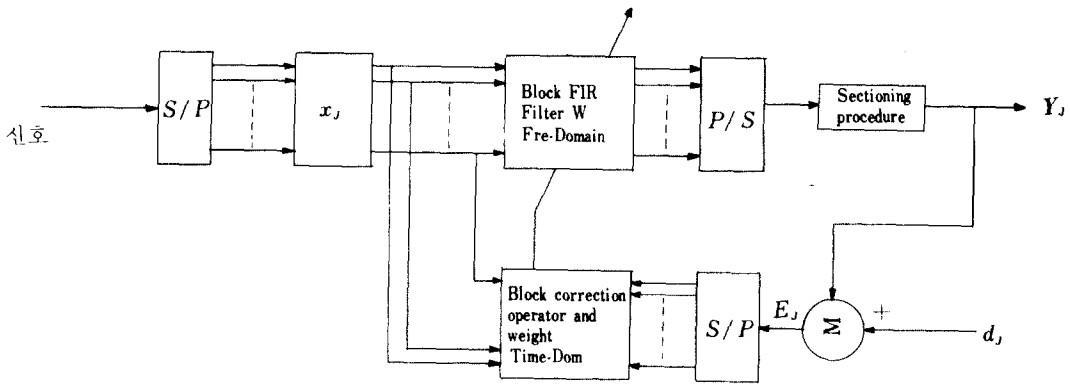


그림 2 BLMS 적응 필터링
BLMS Adaptive Filtering.

4. 주파수 영역에서의 블럭적응필터 (FBAF)

4-1. 필터구조

주파수 영역 적응 디지털 필터는 L point 데이터 블럭을 형성하기 위해 입력 신호 χ_J 와 바라는 응답 D_J 을 sectioning 함으로써 그림 3에 나타낸 것처럼 구현된다. 이때 입력신호와 바라는 응답은 L -point Discrete Fourier Transform에 의해 주파수 영역으로 변환된다. $\chi_{(J+1)L-1}$ 와 $d_{(J+1)L-1}$ 를 입력신호와 바라는 응답의 J 번째 block 데이터의 $(J+1)L-1$ 번째 주파수 bin이라 한다. 여기서 χ_J 는 $L \times N$ 행렬이며 D_J 는 $L \times 1$ 인 vector 이다. 그리고 각 주파수 bin에 대응하는 L 개의 complex weights가 있다. 그림 3에서 weighted output 은 다음과 같다.

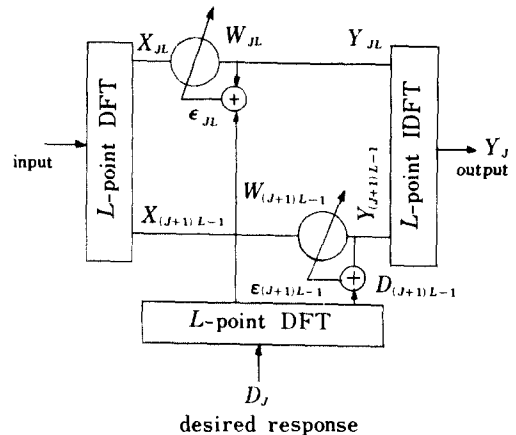


그림 3 주파수 영역에서의 블럭 적응 필터링
Block adaptive filtering in Frequency domain.

호가 관측시간동안 wide-sense stationary 하다면 주파수 성분들은 orthogonal 하고 L 개의

complex weights 는 독립적으로 update 된다. 그러므로 주파수 영역 블럭 적응 필터는 단일 weight 가 L 개로 구성된 적응 필터로 생각할 수 있다.

4 - 2. 고속 수렴 알고리즘

이 절에서는 주파수 영역 블럭 적응 필터에 대한 fast convergence algorithm 을 제시한다. 그리고 weight update 방정식은 다음과 같이 주어진다¹²⁾.

$$W_{J+1} = W_J + P_J \chi_J^* E_J \quad (22)$$

$$P_J = [P_{J-1} + \chi_J \chi_J^*]^{-1} \quad (23)$$

*는 complex conjugate 를 나타내며 variable coefficient P_J 는 수렴비율을 제어하고 입력신호에 종속 되기때문에 weight update 식이 빠르게 수렴할 것으로 기대된다. 그러므로 식(23)은 다음과 같이 다시 쓸 수 있다.

$$P_J = [P_0^{-1} + \sum_{i=1}^J \chi_i^* \chi_i]^{-1} \quad (24)$$

식(20)과 식(21)을 식(22)에 대입하면 다음 식을 얻는다.

$$W_{J+1} = W_J + P_J \chi_J^* D_J - P_J W_J \chi_J^* \chi_J \quad (25)$$

식(23)의 양변에 (-1) 승을 곱하면

$$\chi_J^* \chi_J = P_J^{-1} - P_{J-1} \quad (26)$$

식(26)을 식(25)에 대입하면 다음과 같다.

$$W_{J+1} P_J^{-1} = W_J P_{J-1} + \chi_J^* D_J \quad (27)$$

여기서 $W_0 = 0$ 이라면 식(27)은 다음과 같이 다시 쓸 수 있다.

$$W_{J+1} = P_J \sum_{i=1}^J \chi_i^* D_i \quad (28)$$

따라서 식(24)을 식(28)에 대입하면 다음과 같은 식을 얻는다.

$$W_{J+1} = \frac{\sum_{i=1}^J \chi_i^* D_i}{P_0^{-1} + \sum_{i=1}^J \chi_i^* \chi_i} \quad (29)$$

J 가 충분히 크고 P_0^{-1} 이 작을 경우 식(29)의 분모는 입력신호의 전력 스펙트럼이 되고 반면 분자는 입력과 바라는 응답의 cross power spectrum 이 된다. 그러므로 $J = \infty$ 이고 $L = 1$ 일 경우에 weight 는 wiener 전달 함수에 수렴한다. LMS 알고리즘의 수렴율은 입력신호의 최대 최소 spectrum 밀도의 비에 달려있다. 이런 근사법에서 수렴율은 각 주파수 bin 의 전력을 정규화 함으로써 가속화 된다. 제시된 알고리즘은 G. A. Clark 의 블럭 필터법과는 다소 다르며 그림 3에서 보여준 주파수 영역 필터 구조를 약간 수정함으로써 실현 될 수 있다. 실질적인 실현에 있어서 starting point information P_0 는 수렴반응에 크게 영향을 미친다. 그러므로 식(24)은 다음과 같이 수정될 수 있다.

$$P_J = [\lambda P_{J-1} + \chi_J^* \chi_J]^{-1} \quad (30)$$

여기서 λ 는 상수이다. ($0 < \lambda < 0.5$) 따라서 식(24)과 식(29)은 다음과 같이 다시 쓸 수 있다.

$$P_J = [\lambda^J P_0^{-1} + \sum_{i=1}^J \lambda^{J-i} \chi_i^* \chi_i]^{-1} \quad (31)$$

$$W_{J+1} = \frac{\sum_{i=1}^J \lambda^{J-i} \chi_i^* D_i}{\lambda^J P_0^{-1} + \sum_{i=1}^J \lambda^{J-i} \chi_i^* \chi_i} \quad (32)$$

여기서 J 가 클 경우 P_0 의 영향은 줄어들며 이러한 성질때문에 이 알고리즘은 입력신호가 non-stationary 한 경우에도 추적 할 수 있다.

5. Computer Simulation 결과 및 고찰

5 - 1. Simulation

이 절에서는 그림 4 과 같은 방법으로 컴퓨터

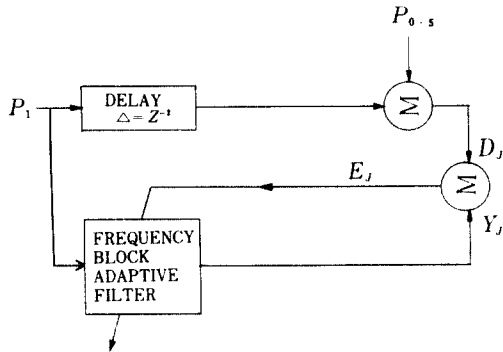


그림 4 시뮬레이션 과정
Simulation procedure.

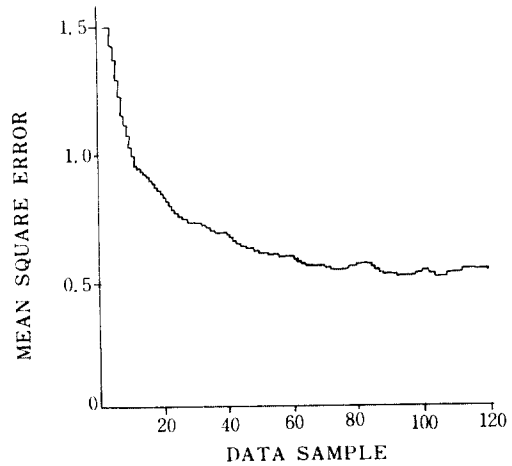
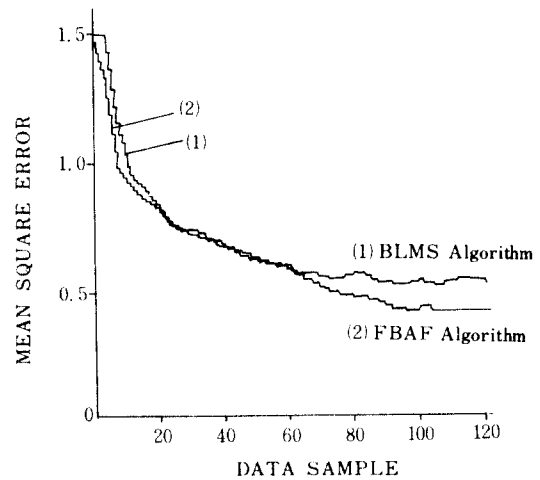


그림 5 (a) 블럭 적응필터의 수렴상태.
Convergence state of BLMS adaptive filter.

시뮬레이션에 의해 실행된 Saito, BLMS, FBAF(Frequency Block Adaptive Filter) 알고리즘의 실행 결과를 비교검토 하였다. 위의 알고리즘들의 수렴을 예상하기 위한 simulation과 정에서 주파수 영역 블럭 적응 필터는 4 개의 weights를 이용하였고 이 알고리즘들은 Z^{-2} 인 unit fixed delay를 갖는 디지털 필터의 impulse 응답을 모델로 하여 실행하였다. 여기서 Z^{-1} 은 단위지연 전달함수이다. 그림 4에서 평균이 zero이고 단위전력(P_1) 백색잡음의 독립표본들로 구성된 신호들이 적응필터와 지연필터에 병렬로 인가된다. 지연필터의 출력은 전력이 0.5($P_{0.5}$)이고 평균이 zero인 백색독립 잡음이 더하여서 적응처리의 바라는 응답 D_j 로 오차신호 E_j 를 형성하기 위해 적응 필터 출력 Y_j 와 비교된다. 여기서 평균이 zero이고 전력이 1인 백색 Gaussian 잡음의 발생은 0~1 사이의 random number를 12번 더하여 6을 빼고 표준편차 1을 곱한 것에 zero를 더하여 발생하였고 전력이 0.5인 백색 Gaussian 잡음의 발생 과정도 위와 유사하며 단지 표준편차만을 0.7로 바꾸었다. 그리고 이 두 신호는 stationary이다. 적응처리가 최적으로 수렴되었을 경우 오차는 0.5에 수렴한다. 그리고 적응 필터의 모든 초기 weight를 zero로 하고 초기 수렴을 고찰하기 위해 $P_j = 0$, $\lambda < 0.5$ 로 하여 실행한 알고리즘들의 결과를 그림 5, 6, 7에 제시하였다. 그림 5는 BLMS 적



(b) BLMS와 FBAF 알고리즘의 수렴상태
Convergence state of BLMS and FBAF algorithm.

용 필터 알고리즘의 수렴상태의 결과와 본 논문에서 제시한 FBAF 알고리즘의 수렴 결과와 비교한 그림이며 그림 6은 FBAF와 SAITO 알고리즘의 수렴 결과를 비교한 그림이다. 비교 결과 BLMS 알고리즘의 수렴상태보다 FBAF 알고리즘의 수렴상태가 빠르고 또 Saito 알고리즘의 수렴상태보다는 수렴오차가 더 적음을 알 수 있었다. 또한 그림 7은 FBAF 알고리즘의 입력 데이터를 4×4 , 2×2 로 한 경우로 블럭 데이터를 4×4 로 한 경우가 훨씬 빠르게 수렴함을 알 수 있다.

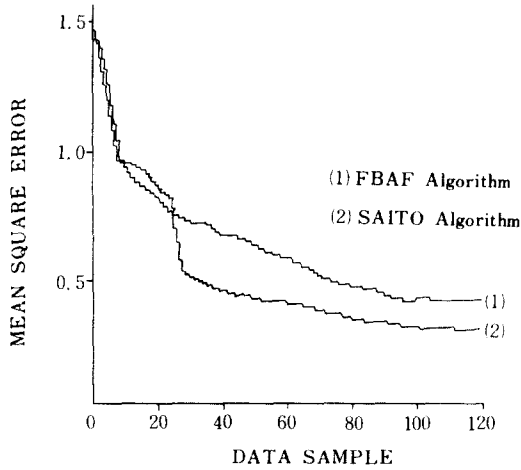


그림 6 FBAF와 SAITO 알고리즘의 수렴상태.
Convergence state of FBAF and SAITO algorithm.

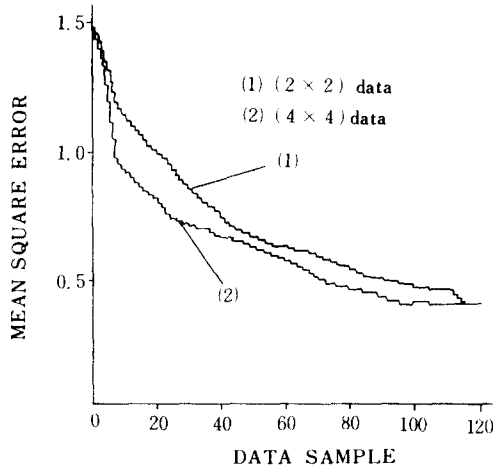


그림 7 FBAF의 (4x4), (2x2)의 수렴상태.
Convergence state of (4x4) and (2x2) for FBAF.

5 - 2. FBAF 알고리즘의 계산량

이 절에서는 FBAF 알고리즘의 계산량을 구하고 다른 알고리즘의 계산량과 비교한다. 기존의 LMS 알고리즘은 $K_{LMS} = 2N^2$ 만큼의 곱셈이 필요하고 이 알고리즘을 주파수 영역에서 실행할 때는 $K_{DEN} = (3N/2) \log_2^N + 2N$ 만큼의 곱셈이 필요로 한다⁽¹⁾. $N/2$ -point 복소수 FFT 알고리즘의 실수부 허수부를 적절히 이용하여 실행된 BLMS 적응 필터의 total 계산량은 $K_{BLMS} = (15/4) N'Q - 20(N'/2 - 1) + 14N' + N + b(5N')$ 이다⁽⁴⁾.

$$\text{단 } Q = \begin{cases} \log_2^{(N'/2)} & N' \text{ even } \\ \log_2^{(N'/4)} & N' \text{ odd } \end{cases} \quad b = \begin{cases} 0 & \text{even} \\ 1 & \text{odd} \end{cases}$$

한 개의 복소수 곱셈이 4 개의 실수 곱셈과 같고 그림 3에서 보여준 필터 구조에서는 weight 적응이 $N/2 + 1$ 이므로 L-point 출력 데이터를 산출하기 위해 요구되는 곱셈량은 $K_{FBAF} = (3N/2)$

$\log_2^N + (\frac{N}{2} + 1) + N(L + 2)$ 이다. 한편 Saito가 제시한 알고리즘의 계산량은 $K_F = (3N/2) \log_2^N + (6N/2) + 4$ 가 된다⁽³⁾.

표 1 계산량 비율

N	K_{LMS}/K_{FBF}	K_{DEN}/K_{FBAF}	K_{BLMS}/K_{FBAF}	K_F/K_{FBAF}
32	1.560	0.231	1.149	0.259
64	1.717	0.148	0.721	0.160
128	1.828	0.089	0.440	0.095
256	1.976	0.054	0.267	0.056

위의 표에서 알 수 있듯이 K_{FBAF} 의 계산량은 K_{LMS} 의 계산량보다는 적음을 알 수 있다. 또 N 이 32보다 작은 경우에 있어서도 K_{BLMS} 의 계산량보다는 적지만 N 이 32보다 클때는 주파수 영역에서 실행한 LMS, BLMS, Saito 등의 알고리즘들의 계산량보다 증가함을 알 수 있다.

5 - 3 Flow Chart

이 절에서는 앞의 과정을 컴퓨터로 simulation하기 위한 과정을 간단히 그림 8에 flow chart로 나타냈다. 초기 weight는 zero로 하였다. 점선 괄호안의 (1)과(2)는 4 - 2 절의 식(2)과(21)을 계산하는 과정이고 (3)는 weight update 하는 식(22)를 계산하는 과정이다. 또한 (4)는 입력을 block 단위로 읽어 들이는 과정이고 (5)는 block 단위로 입력할 데이터의 block number 를 비교한다.

6. 결 론

본 논문에서는 주파수 영역에서 실행된 블럭

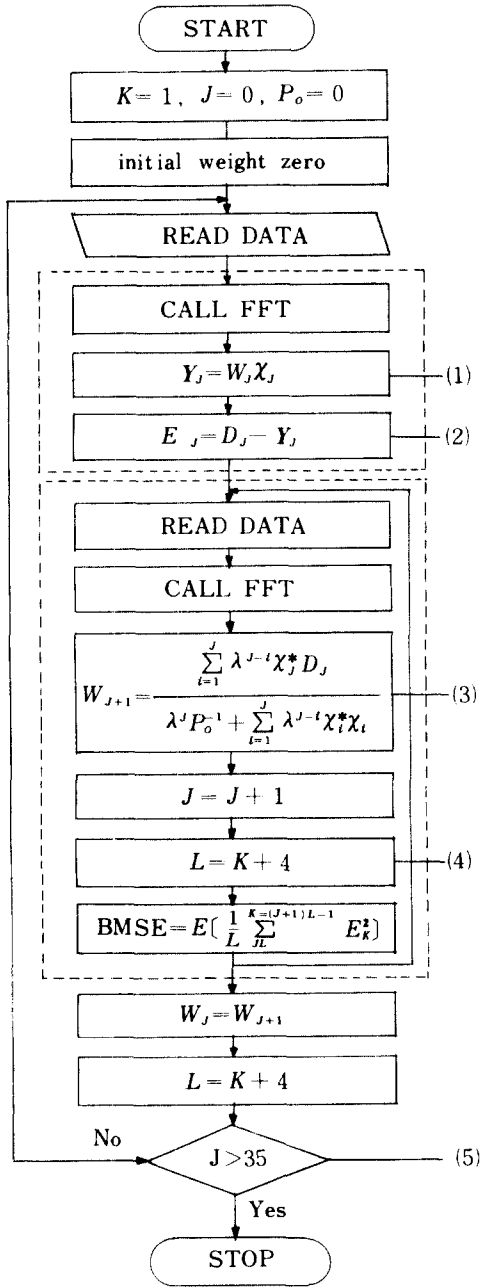


그림 8 유통도
Flow chart.

적응 필터에 대한 고속 수렴 알고리즘이 제시되었다. 제시된 알고리즘은 G. A. Clack의 알고리즘에 Gordard 이론을 전개한 결과가 되며 또 Saito 알고리즘을 블럭화 한 것이다. 이러한

결과 BLMS 알고리즘의 수렴상태보다는 빠르게 수렴함을 알 수 있었고 Saito 알고리즘보다 수렴오차를 줄일 수 있었다. 그러나 필터의 length N 이 32보다 클 경우에는 BLMS, Saito Dentino 알고리즘의 계산량보다는 FBAF 알고리즘의 계산량이 증가함을 알 수 있었다.

参 考 文 献

- (1) M. J. dentino, J. McCool, and B. Widrow, "Adptive filtering in the frequency domain, "Proc. IEEE. vol. 66. pp. 1658 - 1659, Dec. 1978.
- (2) N. J. Bershad and P. L. Feintuch, "Analysis of the frequency domain adaptive filter, "Proc. IEEE. vol. 67. pp. 1658 - 1659, , Dec. 1979.
- (3) E. R. Ferrara, "Fast implementation of LMS adaptive filters" IEEE Trans. Acoust, Speech, Signal Processing, vol. ASSP-28, pp. 474 - 475, Aug. 1980.
- (4) G. A. Clark, S.K. Mitra, and S.R. Parker, "Block implementation of adaptive digital filters, "IEEE Trans. Circuits Syst., vol CAS-28, pp. 584 - 592, June 1981, and IEEE Trans. Acoust., Speech, Signal Processing, Joint Special Issue on Adptive Signal Processing, vol. ASSP-29, pp. 744 - 752, June 1981.
- (5) A. V. Oppenheim and R. W. Schaffer, Digital Signal Processing. Englewood Cliffs, NJ: Prentice-Hall, 1975.
- (6) E. O. Brigham, The Fast Fourier Transform. Englewood Cliffs, NJ: Prentice-Hall, 1974.
- (7) B. Widrow et al., "Adaptive noise cancelling: Principles and application, "Proc. IEEE, vol. 63, Dec. 1975.
- (8) Bernari Widrow, IEEE Transaction on Antennas and Propagation, vol. Ap-24, no. 5, Sep. 1976.
- (9) B. Widrow, J. Mccool, and M. Ball, "the complex Algorithm" Proc. IEEE (Collesp). vol. 63, pp. 719 - 720. Apr. 1975.
- (10) G. A. Clacic, "A Unified Approach totime-and-Frequency domain Realilation of Fir Adaptive Digital filter, "IEEE Trans on Assp, vol. ASSP. 31 no-5, OCT 1983.
- (11) D. Gordard "channel Equalilition Using Kalman filter for fast data Transmission, "IBM Journal of Reserch and Development, pp 267 - 273, May 1974. Tsuneo Saito and Yukto Ho Shiko "fast Convergence
- (12) Frequency Domain Adaptive Filter "The Technology Reports of the TohoKU University vol. 48(1983) no. 2 Dec. pp. 191 - 197.
- (13) IEEE Trasaction on Com, VOL. Com. 26 No .10 OCT 1978 "Application of Fast Kalman Estimation to Adaptive Equalization" David D. Falconer AND Lenn RT.
- (14) IEEE. Trans on Com . vol. Com-25 no. 7 JULY

1977, 666-672 "Self-Orthogonalizing Adaptive Equalization algorithm" Richard D. Gitlin, Francis R. Magee, JR.

(註) R. D. Gitlin, F. R. Magee, JR. "Self-orthogonalizing adaptive equalization algorithm," IEEE, Trans on Com. vol. com-25, no. 7 pp 666-672, 1977.



姜 哲 豪 (Chul Ho Kang) 正會員
1952年 2月 5日生
1975年 2月：漢陽大學校電子工學科卒業
1979年 2月：서울大學校大學院電子工學
科 卒業
1977年～1982年 2月：國方科學研究所
(研究員)
1982年 3月～現在：서울大學校大學院電
子工學科(博士 課程
修了)

1983年 3月～現在：光云大學電子通信科(助教授)



趙 海 南 (Hai Nam Jo) 準會員
1961年 3月 14日生
1984年 2月：光云大學電子通信工學科卒
業。
1984年 3月～現在：光云大學大學院電子
通信工學在學中。